基于深度学习的车载视频图像动态识别算法与应用研究

郑爱玲¹ 许艳艳¹ ZHENG Ailing XU Yanyan

摘要

在道路环境错综复杂且干扰源众多的场景下,车辆、行人、交通标志等物体之间的空间关系变得极为复杂。传统方法过度依赖基本的特征提取,未能充分挖掘图像中物体间的空间关系信息,难以精准捕捉不同物体间的相对位置、距离等空间特征。这使得模型在图像轮廓识别上精度欠佳,难以准确把握目标的动态变化。鉴于此,文章提出一种基于深度学习的动态识别算法研究。该方法先采用深度卷积神经网络(CNN)与循环神经网络(RNN)构建模型,提取车载视频图像的空间与时序特征。然后融合深层语义与浅层细节信息,增强检测性能,实现实时目标检测与跟踪。最后引入图与通道注意力模块,提升复杂环境下空间特征提取和动作特征表示能力,实现视频图像动态识别。对比实验表明,新算法在车载视频图像动态识别方面表现出较高的准确性,显著提升了车辆行驶的安全性和智能化水平,为车载视频图像动态识别提供了有效的技术手段,具有重要的理论意义和实际应用价值。

关键词

深度学习;车载视频;视频图像;特征融合;动态识别

doi: 10.3969/j.issn.1672-9528.2025.03.011

0 引言

随着科技的飞速发展,自动驾驶技术已经成为汽车工业和人工智能领域的研究热点。而车载视频图像动态识别技术是自动驾驶技术的核心,通过摄像头捕捉路况,用算法处理视频图像,为自动驾驶提供环境感知和决策支持。高效准确地提取视频信息,辅助安全驾驶,同时助力智能交通建设,实现车辆信息共享和协同控制,提高交通效率。同时,该技术也应用于车辆防盗和追踪系统,从而保障车辆安全。

目前,已有多种车载视频图像动态识别算法被提出并应用于实际场景中,为自动驾驶技术的发展提供了有力支持。例如,张宗等人^[1]探讨了基于时空图卷积网络(STGCN)的视频图像人体动作轮廓动态识别方法。该研究利用 STGCN 算法对视频图像中人体动作的时空特征进行建模和识别,取得了良好的效果。然而,虽然 STGCN 能够处理人体动作的空间特征,但道路场景中的空间关系更为复杂多样。STGCN 难以适应这种复杂的空间关系变化,因为空间关系处理能力是基于人体动作相关的图结构设计的,与道路场景中的物体空间关系结构不完全匹配,进而导致在识别物体间空间特征

1. 郑州工业应用技术学院信息工程学院 河南郑州 451100 [基金项目] 教育部供需对接就业育人项目(2023122163922); 郑州工业应用技术学院 2024 年度省级工程技术研究中心开放课题支持项目(ETRC-240103)

时精度欠佳。费春国等人^[2]则提出了一种基于动态衰减网络的图像识别方法。该方法通过引入动态衰减机制,提高了模型对图像特征的提取能力和鲁棒性。但在处理道路环境复杂且干扰源众多的场景时,无法精准地调整其识别过程,从而难以持续准确地捕捉交通标志与其他物体之间的空间关系,最终对识别精度产生影响。刘小溪等人^[3]提出针对路牌检测类别少的问题,对YOLOv3进行轻量化改造,提出了简化的YOLOv3(simplified YOLOv3,S-YOLOv3);为了提高字符分类精度,对YOLOv3进行特征融合策略改进,提出高精度的字符分类YOLOv3(high precision character classification YOLOv3,进行训练与测试;按照字符检测结果所处的位置进行字符聚类,实现字符序列识别;设计了由车载大恒水星相机,计算机组成的图像采集,车牌检测与字符识别,但该方法主严重受到使用环境的影响。

基于上述分析,本文提出一种基于深度学习的车载视频 图像动态识别算法,旨在克服传统方法在复杂道路环境下空 间特征提取受限、人体动作特征表征能力不足及缺乏高效特 征融合策略等挑战,显著提升视频图像的动态识别性能。

1 基于深度学习的车载视频图像动态特征提取

车载视频图像由连续图像帧构成,动态特征往往更能反 映车辆和行人的运动状态、行为模式等关键信息。因此,提 取动态特征有助于识别模型更好地理解视频中的动态场景,提高识别和检测的准确性^[4]。为此,本文提出构建了一个结合 CNN 与 RNN 的深度学习模型。其中,CNN 擅长图像特征提取,RNN 能捕捉时序关系^[5]。结合两者,可全面提取车载视频图像的静态空间特征和帧间动态变化,为精准目标识别和动态跟踪奠定基础。

车载视频图像的本质是动态的,包含了丰富的时序信息,这些信息对于理解视频中的动态变化至关重要。CNN 的特征提取过程可以表示为:

$$F_{\text{CNN}}(x) = \sigma(W_{\text{conv}} \cdot x + b_{\text{conv}}) \tag{1}$$

式中:x表示车载视频中经预处理后的某一帧图像; W_{conv} 表示卷积层权重; b_{conv} 表示卷积层偏置值; σ 表示激活函数。在 CNN 特征提取过程中,卷积操作的数学公式为:

$$z_{i,j,k} = \sum_{m=0}^{M-1} \sum_{n=0}^{N-1} x_{i+m,j+n} \cdot w_{m,n,k} + b_k$$
 (2)

式中: $z_{i,j,k}$ 表示第 k 个卷积核在位置 (i,j) 的输出: $x_{i+m,j+n}$ 表示输入图像在位置 (i+m,j+n) 的像素值: $w_{m,n,k}$ 表示第 k 个卷积核在位置 (m,n) 的权重: b_k 表示第 k 个卷积核的偏置。通过多层卷积和可能的池化操作,CNN 能够从图像中提取出高级的空间特征。

RNN 擅长处理时序数据,通过循环连接能够捕捉视频 图像序列中的时间依赖性。RNN 的时序特征提取过程可以 表示为:

$$h_t = \sigma(W_{\text{rmn}} \cdot [h_{t-1}, F_{\text{CNN}}(x_t)] + b_{\text{rmn}})$$
 (3)

式中: h_t 表示第 t 时刻的隐藏状态; $W_{\rm mn}$ 表示 RNN 的权重; $b_{\rm mn}$ 表示 RNN 的偏置值; $F_{\rm CNN}(x_t)$ 表示第 t 时刻 CNN 提取的空间特征。在处理每一帧图像时,RNN 会接收 CNN 提取的空间特征作为输入,并结合上一时刻的隐藏状态来更新自己的隐藏状态。这一过程使得 RNN 能够提取出视频帧之间的动态特征。

在道路环境复杂且干扰源众多的情境下,采用 CNN 与 RNN 相结合的架构进行车载视频图像的动态特征提取。这一过程使得模型能够同时利用空间和时间信息,对复杂道路环境下的车载视频图像进行全面深入的理解,为后续更精准的目标识别和动态跟踪等任务奠定基础 $^{[6]}$ 。动态特征 y 通过对 RNN 最后一个隐藏状态 h_T 进行变换得到:

$$y = \operatorname{softmax}(W_{fc} \cdot h_T + b_{fc}) \tag{4}$$

式中: W_{fc} 表示全连接层的权重; b_{fc} 表示全连接层的偏置值; h_{T} 表示 RNN 输出的最后一个隐藏状态。

2 特征融合与动态检测

车载视频图像动态识别通常涉及对视频图像序列数据

的实时分析和处理,以捕捉其中的动态变化。动态特征融合可以提供更全面、更丰富的特征表示,有助于模型更准确地捕捉序列数据中的动态变化,实现动态检测。为提升模型的检测性能,特征融合成为一个重要的技术手段。深层特征通常包含更高级的语义信息,对于理解图像中的复杂场景至关重要;而浅层特征则更多地保留了图像中的细节信息,如边缘和纹理等,对于精确捕捉目标的形态和轮廓非常有用。通过融合这些不同层次的特征,能够为动态检测构建一个更加丰富的特征空间,使模型能够更准确地捕捉视频图像序列中的动态变化,进而实现对目标的实时检测和跟踪。

以尺寸为 $5 \text{ px} \times 5 \text{ px}$ 的输入图像为例,通过卷积神经网络提取其动态特征。利用 3×3 的卷积核进行反卷积操作(步长 S=1,扩充 P=0,并在特征单元间插入 0 进行上采样),输出特征图大小可通过公式计算:

$$output = S \times (i-1) + K - 2 \times P \tag{5}$$

式中: output 表示输出特征图大小; i 表示输入图像大小; K 表示卷积核。

在动态检测中,深层特征图(如 Conv11 的 19 px×19 px 和 Conv13 的 10 px×10 px)蕴含丰富的动态特征,这些特征是通过深层卷积网络逐步提取得到的 [7]。为提升检测性能,采取特征融合策略,将深层特征(Conv11 和 Conv13 层提取的动态特征)与浅层特征(Conv5 层提取的动态特征)进行融合。具体来说,Conv13 层会输出 1 024 个 10 px×10 px 的动态特征图。这些特征图首先经过一个 3×3 卷积核、步长为 2、扩充为 1 的反卷积操作,上采样到 19 px×19 px 的尺寸。接着,通过一个 1×1 卷积核进行降维处理,以便与Conv11 层的 19 px×19 px 动态特征图进行融合。融合后的特征图采用 3×3 卷积来消除混叠效应,并用于后续的分类和预测任务。

同样,Conv11 层融合后的特征图(512 个 19 px×19 px 的动态特征图)会经过一个 2×2 卷积核、步长为 2、扩充为 0 的反卷积操作,上采样到 38 px×38 px 的尺寸。然后,通过一个 1×1×256 的卷积核进行降维,以便与 Conv5 层的 38 px×38 px 动态特征图进行融合。融合后的特征图同样采用 3×3 卷积来消除混叠效应,并用于分类和预测。

特征融合结合不同层或来源的特征图,提升模型检测性能。在车载视频识别中,融合深层语义与浅层细节信息,构建全面特征空间,对捕捉动态变化至关重要。特征融合的特征图呈现出较高的精度且鲁棒性,是实现动态检测的关键。通过特征融合策略,能够有效地将深层特征与浅层特征相结

合,为车载视频图像动态识别任务提供更加准确和可靠的特征表示,进而提升模型的检测性能^[8]。

3 视频图像轮廓动态识别

复杂道路环境中,传统方法难精确捕捉物体空间关系,影响图像识别和目标动态把握。因此,本文引入图注意力模块和通道注意力模块,弥补此不足。图注意力模块构建物体图结构关系,精确描绘人体动作轮廓和物体空间联系。通道注意力模块聚焦特征图通道维度,重新分配特征权重,减少无用特征影响,增强有用特征表达能力^[9]。这两个模块结合,提升网络空间特征提取能力和人体动作特征表示能力,实现更精准的视频图像动态识别。

采用两个卷积层将输入特征图f转换为矢量R和Q。接着,利用归一化技术生成不同动作骨架的时空图样本。通过学习两个随机关节点之间的权值关系,能够更精确地实现人体动作轮廓的识别。

此外,通道注意力模块的加入进一步增强了 STGCN 网络在人体动作特征表示方面的能力。通过全连接层进行特征升维,并使用 Sigmoid 激活函数获取权值。最后,将这些权值与输入特征图相乘,实现特征权重的重新分配 [10-12]。这一过程有效减少了无用特征的影响,同时增强了有用特征的表达能力 [13]。将权值矢量与输入特征图 f 相乘,实现特征权重的重新分配,可以表示为:

$$f' = w \odot f \tag{6}$$

式中: \odot 表示逐元素相乘操作; f'表示重新分配权重后的特征图; w表示权值。通过上述内容,实现对视频图像轮廓的动态识别。

4 对比实验

4.1 实验环境

本文基于深度学习概念,创新性地提出了一种车载视频图像动态识别算法。为了全面且准确地评估该算法的实际效能,设计并实施了一项对比实验。实验中,新算法被用于对车载视频图像进行动态识别,并设为实验组。为确保实验的可比性和公正性,实验同时设置了两个对照组。对照 A组采用基于时空图卷积网络(STGCN)的识别方法,对相同的车载视频图像进行识别;而对照 B组则运用基于动态衰减网络和特定算法的图像识别技术,对同一批车载视频图像进行识别。

这三组实验均在相同的实验环境中进行,以保障实验结果的准确性和可靠性。实验环境配置如下:实验平台选用 Ubuntu 14.04 操作系统,搭载英特尔酷睿 i5 处理器和

GTX1060 显卡(显存容量 6 GB)。开发环境则使用 Anaconda2 作为管理工具,结合 caffe 深度学习框架及 Python2.7 编程语言,用于构建和运行算法模型。

通过上述实验环境和配置,能够全面客观地评估新提出 的车载视频图像动态识别算法的性能,并与现有的识别方法 进行对比分析,为后续研究和应用提供有力支持。

4.2 实验数据集

目前,车载视频图像识别中应用较多的数据集包括 INRIA、ETH、TUD、Cityscapes 等。表 1 记录了各个数据集 的基本情况。

表 1 数据集基本情况记录表

序号	名称	拍摄场景	数据集分布	图像分辨率 /(px×px)	
(1)	INRIA	复杂且多姿	训练集 1 834 张	>100	
		态动态图像	测试集 645 张	/100	
(2)	ETH	城市白天车	训练集 22 356 张	640×480	
		载摄像机	测试集 21 625 张	040 ^ 480	
(3)	TUD	城市白天车	训练集 12 800 张	640×480	
		载摄像机	测试集 12 100 张	040 ^ 480	
(4)	Cityscapes	城市白天车	训练集 7 560 张	2 048×1 024	
		载摄像机	测试集 7 512 张	2 046 \ 1 024	

满足本次实验需求,选定 Cityscapes 数据集作为实验数据集。Cityscapes 数据集由车载摄像头拍摄自大约 50 个城市街道的视频帧组成,主要覆盖了春夏秋 3 个季节。该数据集因其详尽的标注而适用于道路场景的识别分析,信息被细致划分为 8 大类、30 小类(例如车辆、行人等)。数据集包含20 000 张粗标注图像和 5 000 张细标注图像,适用于本文的研究要求。图 1 展示了该数据集中行人尺度的分布情况。

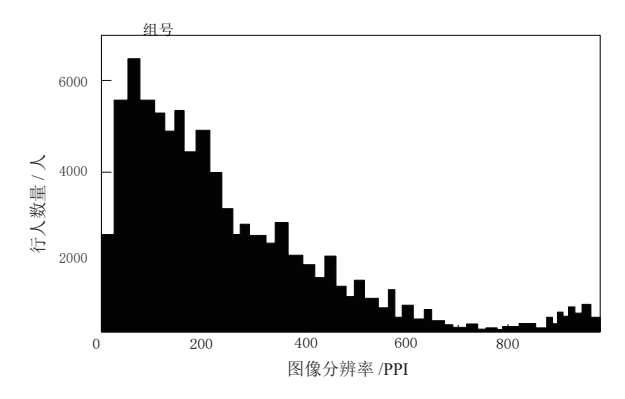


图 1 Cityscapes 数据集行人尺度分布

从图 1 可以看出,在该数据集中行人尺度分布极不均匀, 大部分行人尺度集中在 40~60 PPI 的位置。根据图 1 所示, 将行人尺度图像分辨率小于 40 PPI 的定义为小目标;将图像 分辨率 40~80 PPI 的定义为中目标;将图像分辨率 80 PPI 以 上定义为大目标。

4.3 实验结果

图 2 所示为三组方法在实验过程中识别到的行人动态目标。







实验组

验组 对照

对照B组

图 2 三组方法识别结果示意图

由图 2 可知,实验组在行人动态目标识别上表现出卓越性能。实验组能精确捕捉行人动态特征并准确框定,体现在位置判断和标记框大小的匹配上,确保了识别结果的可靠性。对照 A 组覆盖不全,易导致识别误差,且标记框放置缺乏统一标准,降低了可靠性。对照 B 组标记框过大,可能纳入无关物体,增加识别复杂性和运行负担。本文方法优势在于引入图注意力模块和通道注意力模块,强化了模型在复杂场景中的空间特征提取能力,提升了模型对人体动作特征的敏感度及识别精度,提高了识别准确性。

在此基础上,记录了三组方法针对不同目标的识别准确率,如表 2 所示。

表	2	三组	方法	法识	别	结	果	对	比	表
---	---	----	----	----	---	---	---	---	---	---

	实验组		对照 A 组		对照 B 组	
类别	准确识别	准确	准确识别	准确	准确识别	准确
	数量/个	率 /%	数量/个	率 /%	数量/个	率 /%
小目标	49	98.0	26	52.0	18	36.0
中目标	48	96.0	37	74.0	22	44.0
大目标	49	98.0	26	52.0	16	32.0

从表 2 结果可知,实验组对三种目标图像识别准确率高至 95%,准确识别数超过 45 个,远超对照 A、B组。由此证明本文识别算法实际应用中更准确。优势在于引入的图注意力模块提升了空间特征提取能力,通道注意力模块增强了人体动作特征表示,使模型在复杂场景下鲁棒性、适应性更强,提高了识别准确性。

5 结语

本文聚焦于基于深度学习的车载视频图像动态识别算法,创新性地设计了一种算法框架,并在真实车载视频数据集上完成了实验验证。实验结果显示,该算法在识别精度与运算速度上均实现了显著提升,有效克服了现有技术的局限性。本研究不仅成功解决了这些技术难题,更为车载视频图像动态识别技术的发展注入了新的动力。展望未来,将持续深化研究,致力于开发更加高效、智能的算法,为智能交通系统的广泛应用提供更加可靠的技术保障。

参考文献:

- [1] 张宗, 石林. 基于 STGCN 算法的视频图像人体动作轮廓 动态识别 [J]. 现代电子技术, 2024, 47 (18): 144-148.
- [2] 费春国, 刘启轩. 基于动态衰减网络和算法的图像识别 [J]. 电子测量与仪器学报, 2022, 36 (7): 230-238.
- [3] 刘小溪,程佳诚,程咏梅,顾一凡,雷鑫华,汪波.车载视频图像路牌检测与字符序列识别方法[J]. 计算机工程与应用,2023,59(8):175-181.
- [4] 代勇,罗四海,秦政阳,等.基于动态图像识别叶轮气动不平衡诊断方法的应用研究[J].中国设备工程,2024(13):172-174.
- [5] 李进,岳华峰,程生博,等.供应链质量追溯的烟草叶片图像帧特征动态识别方法[J]. 计算技术与自动化,2024,43 (1):111-116.
- [6] 肖帅,郭嘉,芦天罡,等.基于图像识别技术的北京市设施温室动态监测研究[J].农业工程,2023,13(10):21-26.
- [7] 薛薇,张锋,凡静,等.基于边缘检测及 RBF 神经网络的 遥感图像帧特征动态识别技术 [J]. 计算机测量与控制, 2023, 31 (7): 163-168.
- [8] 陈佳鑫,赵国贞,程伟,等.基于动态称量和图像识别技术的井下煤矸石智能分选装置研发[J].矿业研究与开发,2023,43(2):178-183.
- [9] 赵琰, 赵凌君, 张思乾, 等. 自监督解耦动态分类器的小样本类增量 SAR 图像目标识别 [J]. 电子与信息学报, 2024, 46(10): 3936-3948.
- [10] 叶明,苏海涛,高洪章,等.基于车牌动态图像识别的电子汽车衡自动称重系统的研究与应用[J]. 衡器,2022,51 (11):33-37.
- [11] 王硕,孙梦轩,杨志晓,等.基于涡旋电磁波雷达回波时 频图像的动态手势识别 [J]. 火力与指挥控制,2022,47(8):109-115.
- [12] 朱木清, 邹欢. 深度学习下动态目标识别算法优化仿真[J]. 计算机仿真, 2023, 40(12):321-324.
- [13] 王书朋, 贺瑞, 王瑜婧, 等. 中值直方图均衡的动态场景 多曝光图像融合算法 [J]. 计算机工程, 2022, 48(10):224-229.

【作者简介】

郑爱玲(1995—),女,河南信阳人,硕士研究生,助教,研究方向:深度学习、目标检测、模式识别。

许艳艳(1995—),女,河南三门峡人,硕士研究生,助教,研究方向: 区块链技术、Web 开发、数据分析。

(收稿日期: 2024-11-14)